



INTERNATIONAL ATOMIC ENERGY AGENCY  
UNITED NATIONS EDUCATIONAL, SCIENTIFIC AND CULTURAL ORGANIZATION



INTERNATIONAL CENTRE FOR THEORETICAL PHYSICS  
34100 TRIESTE (ITALY) - P.O.B. 586 - MIRAMARE - STRADA COSTIERA 11 - TELEPHONES: 234281/2/3/4/5/6  
CABLE: CENTRATOM - TELEX 460392-1

SMR/104-28

COLLEGE ON SOIL PHYSICS

19 September - 7 October 1983

Spatial Variability of Soil Physical Properties

G. VACHAUD

Institut de Mécanique  
USMG  
B.P. 53X  
38041 Grenoble Cedex  
France

# VARIABILITE SPATIALE

(Méthodes d'analyse)

## ANALYSE STATISTIQUE CLASSIQUE

But :

Soit N observations d'une v. à. Z :  $(z_1, z_2, \dots, z_N)$

⇒ Résumer N valeurs par quelques caractéristiques simples :

$$\left. \begin{array}{l} \text{- valeur moyenne } \mu \\ \text{- variance } \sigma^2 \end{array} \right\} \rightarrow C.V. = \frac{\sigma}{\mu}$$

### 1. Analyse statistique "classique"

⇒ variabilité exprimée par  $\mu, \sigma^2$ , CV  
(lois de distribution).

### 2. Analyse "geostatistique"

⇒ structure spatiale.

### 3. Analyse par la théorie des facteurs d'échelle. (pr. hydrodynamiques)

⇒ variabilité décrite par 1 seul paramètre

⇒ modélisation déterministe / stochastique  
des transferts.

Moyens :

loi de distribution des  $z_i$ .

examen visuel { histogramme des classes  
tests d'ajustement { fréquences cumulées.

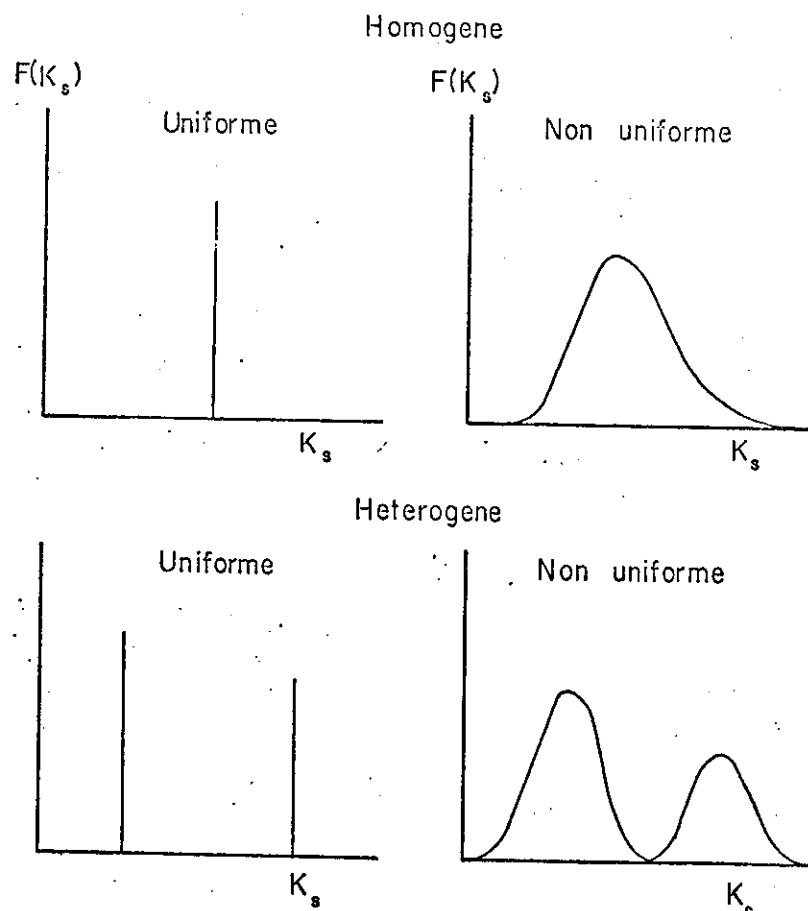
Compilation de résultats ⇒

loi normale :  $f(z) = \frac{1}{\sigma\sqrt{2\pi}} \exp\left\{-\frac{1}{2}\left(\frac{z-\mu}{\sigma}\right)^2\right\}$

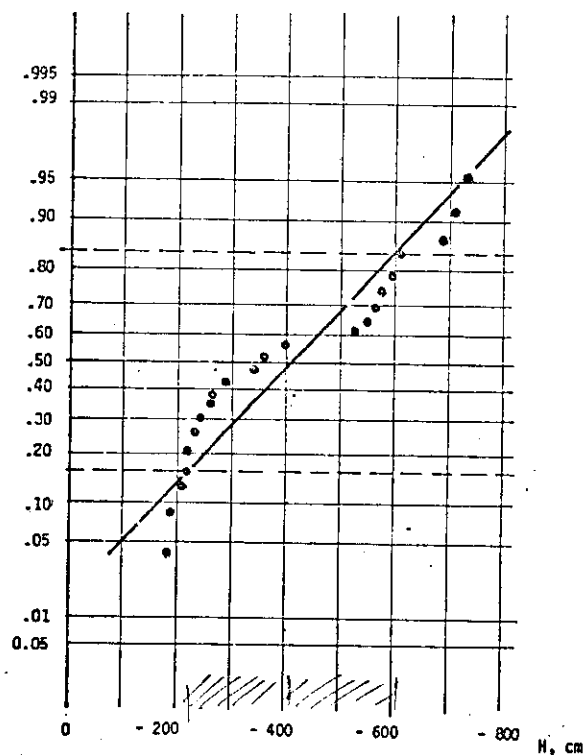
(variables d'état, pd, texture)

loi log-normale :  $f(z) = \frac{1}{z\sigma_{ln}\sqrt{2\pi}} \exp\left\{-\frac{1}{2}\left(\frac{\ln z - \mu_{ln}}{\sigma_{ln}}\right)^2\right\}$

(paramètres des transferts)

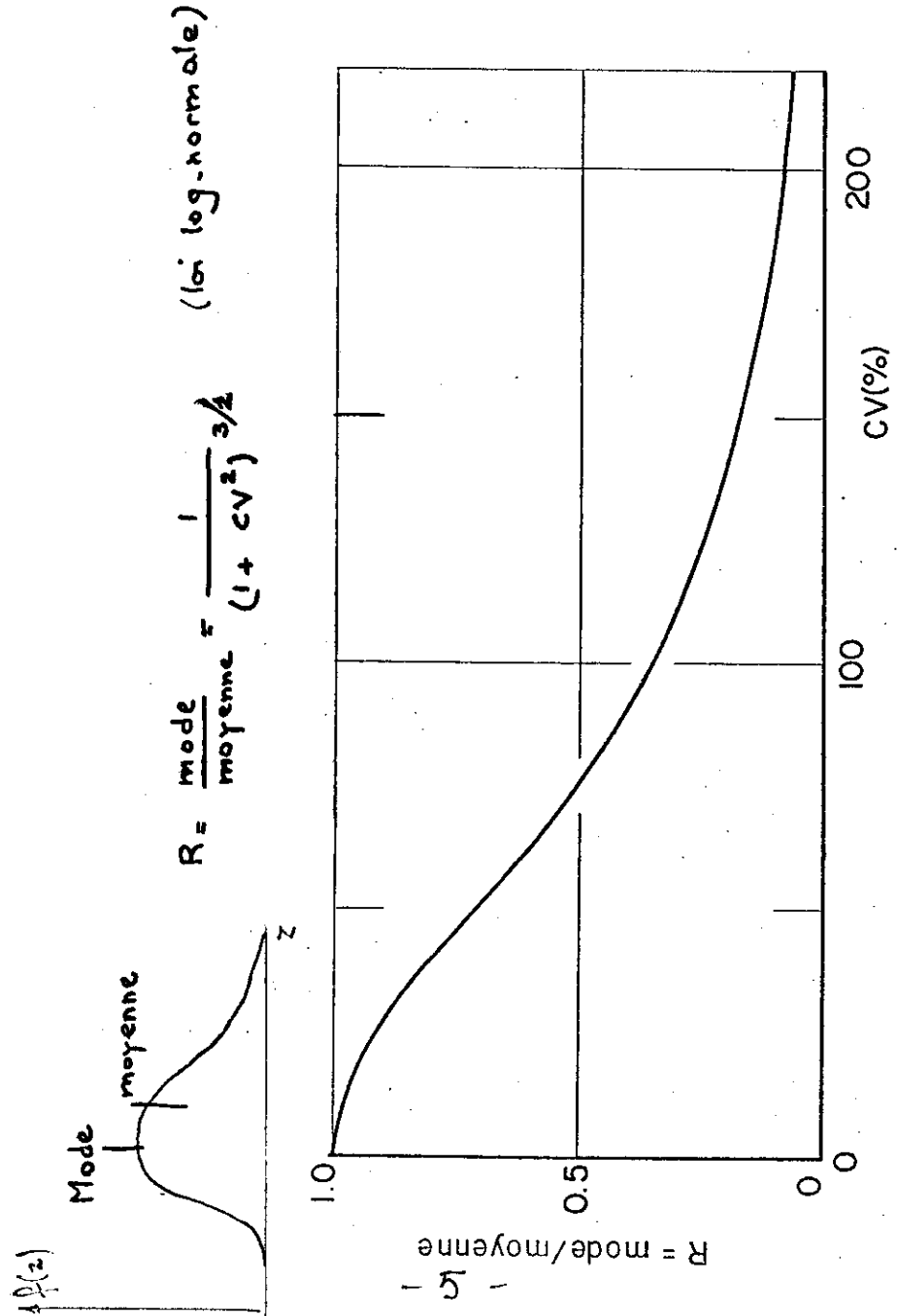


CUMULATIVE PROBABILITY



**FIG. 5 -** Cumulative distribution of probability for 22 hydraulic head measurements (tensiometer reading) obtained the same day (Nov. 27, 1980), same depth, under a uniform cultivar of rainfed rice at BOUAKE, Ivory Coast.  
The continuous line corresponds to a normal distribution with a mean of - 405.6 cm and a standard deviation of  $\pm 191.7$  cm.  
(from KALMS et al., 1981)

- LAW OF DISTRIBUTION -



Parameters	cumulative frequency distribution	KS and CVM tests	W-test
clay + silt (%)	LN	LN	LN ( $P_r > 50\%$ )
$I_{60}'$ (cm)	N/LN	N/LN	N ( $P_r > 50\%$ )
"	<u>LN</u>	-	-
$S (\text{cm hr}^{-1/2})$	N/LN	N/LN	N ( $P_r > 95\%$ )
"	<u>LN</u>	<u>LN</u>	<u>LN</u> ( $P_r = 50\%$ )
$A (\text{cm hr}^{-1})$	N/LN	N/LN	N ( $P_r > 50\%$ )
"	<u>LN</u>	<u>LN</u>	<u>LN</u> ( $P_r = 50\%$ )
Scaling Factor $I(t)$	N/LN	N/LN	N ( $P_r > 98\%$ )
"	<u>LN</u>	-	-
Scaling Factor $h(\theta)$	N/LN	N/LN	LN ( $P_r > 50\%$ )
"	<u>LN</u>	-	-
"	<u>LN</u>	-	-
"	<u>N</u>	-	-
Scaling factor $k(\theta)$	N/LN	N/LN	LN ( $P_r > 50\%$ )
"	<u>LN</u>	-	-
"	<u>N</u>	-	-

LN: log-normal

N: normal

Sharma et al  
(1980)

Sharma et al  
(1980)

Sharma et al  
(1980)

Sharma et al  
(1980)

Warwick et al (1977)

Simmons et al (1979)

Russo, Bressler (1980)

Simmons et al  
Russo-Bressler.

- SPATIAL VARIABILITY -

Parameters	$\mu$	$\sigma$	CV
clay + silt (%)	7.71	2.13	0.277
$I_{60}$ (cm)	24.22	4.06	0.168
"	6.62	0.69	0.104
$S(\text{cm hr}^{-\frac{1}{2}})$	9.35	3.20	0.342
"	4.95	2.44	0.494
$A(\text{cm hr}^{-1})$	14.32	3.78	0.264
"	1.46	0.88	0.603
Scaling factor $I(b)$	1.01	0.12	0.12
"	0.96	0.58	0.60
Scaling factor $h(\theta)$	1.00	0.29	0.29
"	1.00	0.54	0.54
"	1.00	0.43	0.43
"	0.91	0.21	0.96
"	1.00	0.31	0.31
Scaling factor $k(\theta)$	1.00	0.47	0.47
"	1.05	1.81	1.70
"	1.00	0.24	0.24
"	1.00	0.54	0.54

- 7 -

Sharmal et al (1983)

Sharmal et al

Sharmal et al

Sharmal et al

Warwick et al (1977)

" "

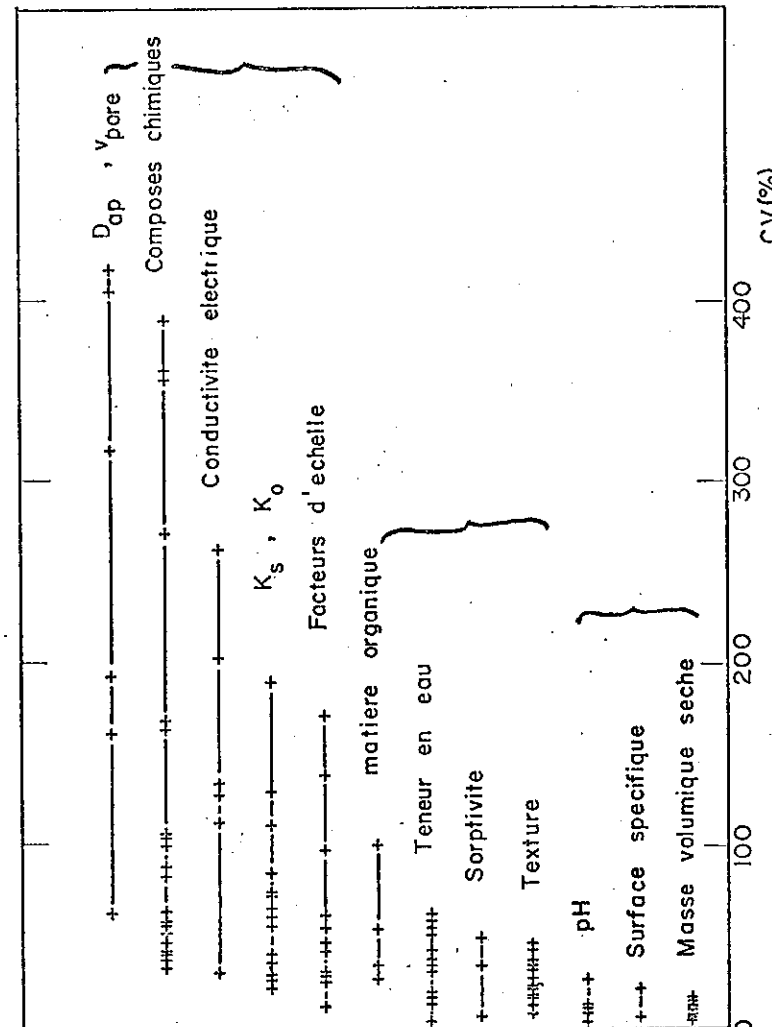
Simmons et al (1979)

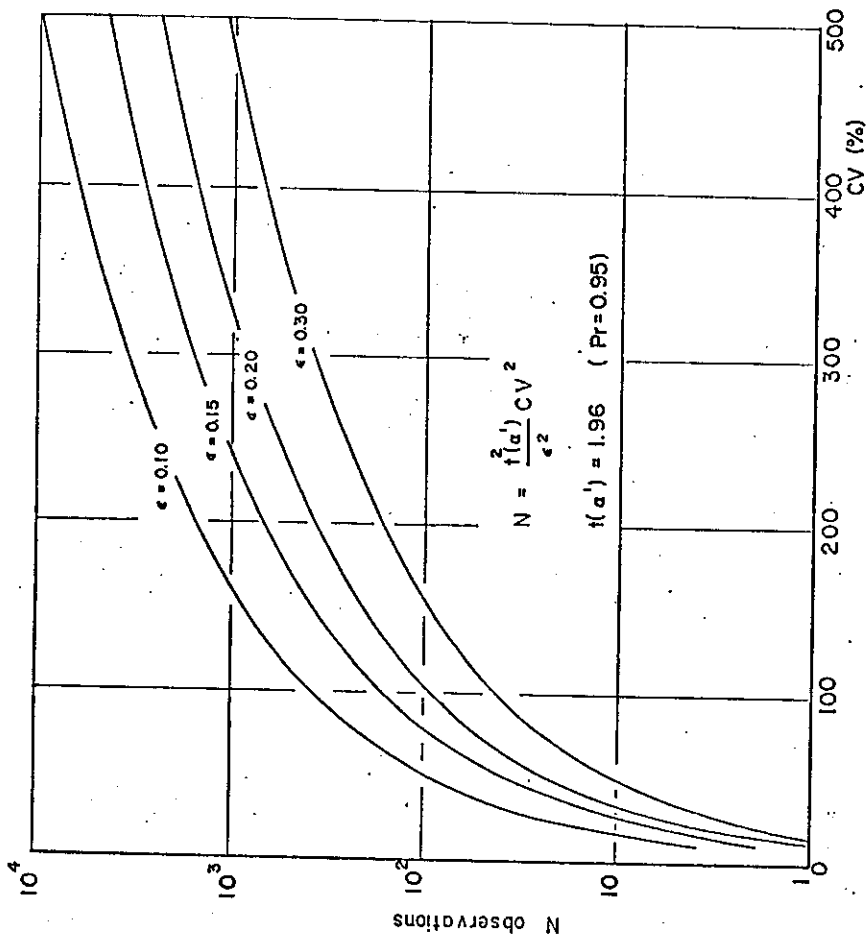
Russo-Breiner (1980)

Warwick et al (1977)

Simmons et al (1979)

Russo-Breiner (1980)





Consequences :

1) Ignorer la loi de distribution  $\Rightarrow$  résultats erronés sur valeurs moyennes et variance de la population.

2) Confondre mode et moyenne pour une loi log-normale  $\Rightarrow$  Erreurs =  $f(C.V.)$

3) Echantillonnage.

si  $N$  observations indépendantes:

théorème central limite  $\Rightarrow$

observations nécessaires  $\rightarrow N = t(\omega')^2 \cdot \frac{CV^2}{\epsilon^2}$   
v. Student.  $\epsilon$  erreur relative souhaitée  
sur la moyenne.

4) Recherche de sites représentatifs de comportements spécifiques: (moyen, modal, extrêmes,  $\pm 5$ ;  $\pm 20$  ...)

STATIONNARITÉ DANS LE TEMPS ?

5) terminologie.

# ANALYSE GÉOSTATISTIQUE

But.

N observations dans un domaine fini peuvent ne pas être spatialement indépendants  
 ⇒ recherche d'éventuelles structures spatiales

Moyens:

1) méthodes de l'analyse du signal.

hyp. stationnarité d'ordre 2 :

$$\{ \mathbb{E}\{Z(r)\} = \mu \quad \forall r \}$$

{. Autocovariance :  $\text{cov}\{Z(r), Z(r+h)\}$  existe et ne dépend pas de r.

$$\Rightarrow \rho(h) = \frac{\text{cov}\{Z(r), Z(r+h)\}}{\sigma^2}$$

$\rho(h)$ : fonction d'autocorrélation  
 ↗ corrélogramme  
 ↗ longueur d'autocorr.

11

2) méthodes géostatistiques.

$Z(r)$  = variable régionalisée.

$$\gamma(h) = \frac{1}{2} \text{var}\{Z(r) - Z(r+h)\}$$

$\gamma(h)$ : Semi-variogramme.

Remarque: var. peut ne pas être finie  
 (Hypothèse intinsèque).

$$\text{Si var. finie} \Rightarrow \gamma(h) = \sigma^2 \{1 - \rho(h)\}$$

Consequences.

1) méthodes d'interpolation spatiale optimales.  
 KRIGAGE.

2) Recherche de corrélation simple entre 2 variables spatialement structurée est biaisée

⇒ "cross-varioogram"

$$\gamma_{1,2}(h) = \frac{1}{2} E \left\{ [Z_1(r+h) - Z_1(r)][Z_2(r+h) - Z_2(r)] \right\}$$

COKRIGAGE

3) échantillonnage.

si N observations sont indépendantes

- 12 -

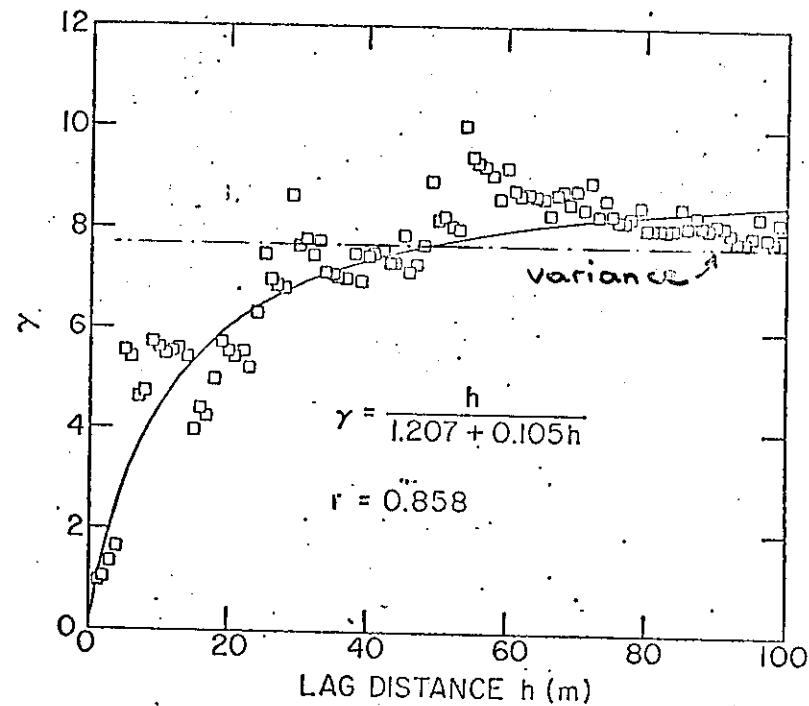
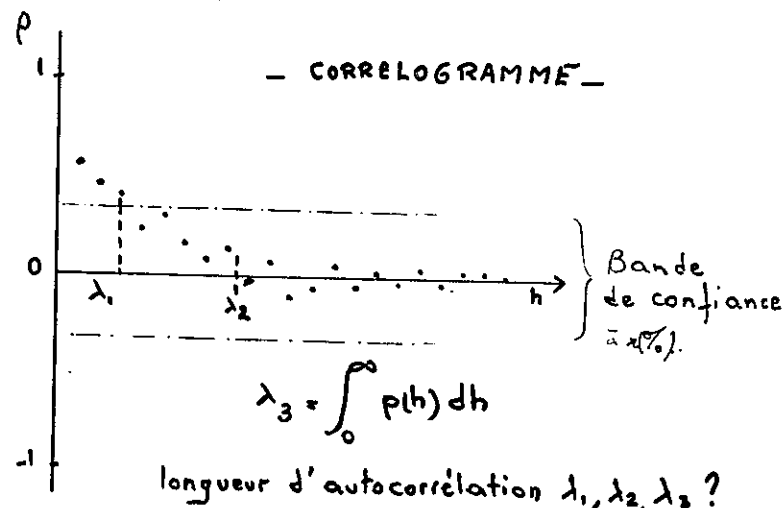


FIG. 15 - Semivariogram function calculated for 12<sup>00</sup> measured values of the steady-state infiltration rate. The sample variance is 7.77 ( $\text{mm} \cdot \text{h}^{-1}$ )<sup>2</sup>. (by courtesy of Vicira et al. (133)).

13



- analyse spectrale (distribution de la variance en fonction de la fréquence spatiale.)

$$S(f) = \Delta r \left\{ \rho(0) + 2 \sum_{h=1}^m \rho(h) \cos(2\pi f \cdot h \Delta r) \right\}$$

densité spectrale

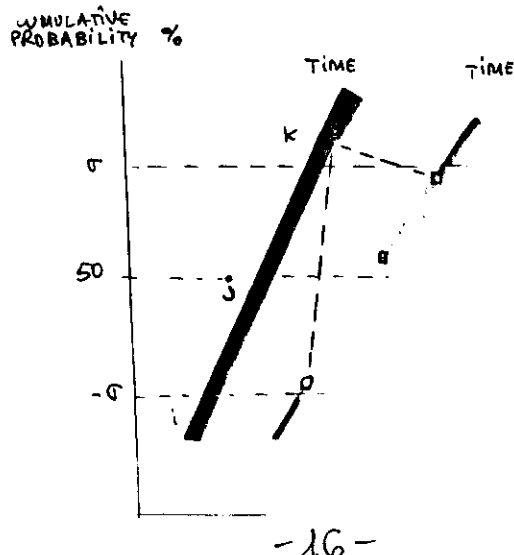
$$f = \frac{h}{2m \Delta r} \rightarrow \text{fréquence.}$$

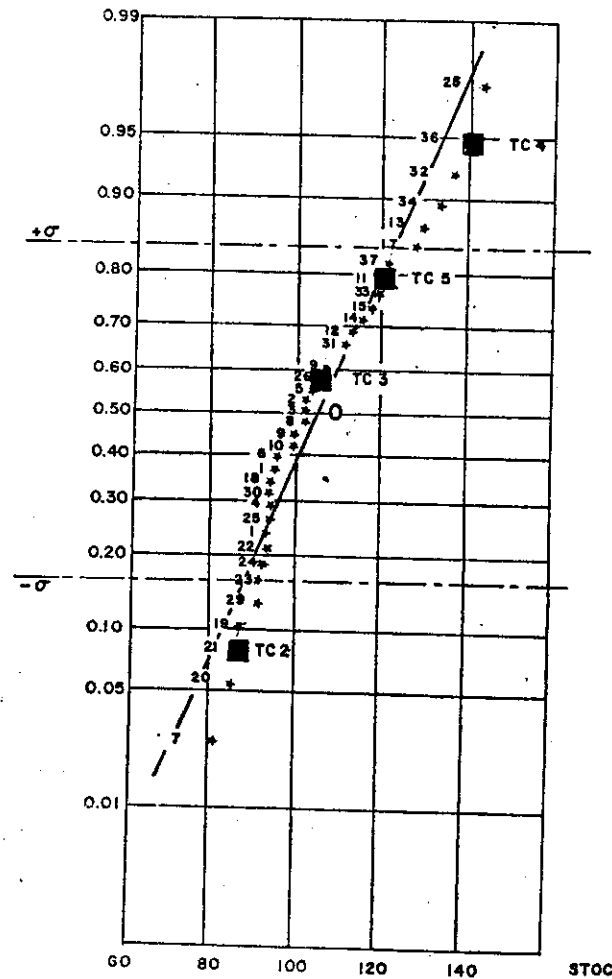
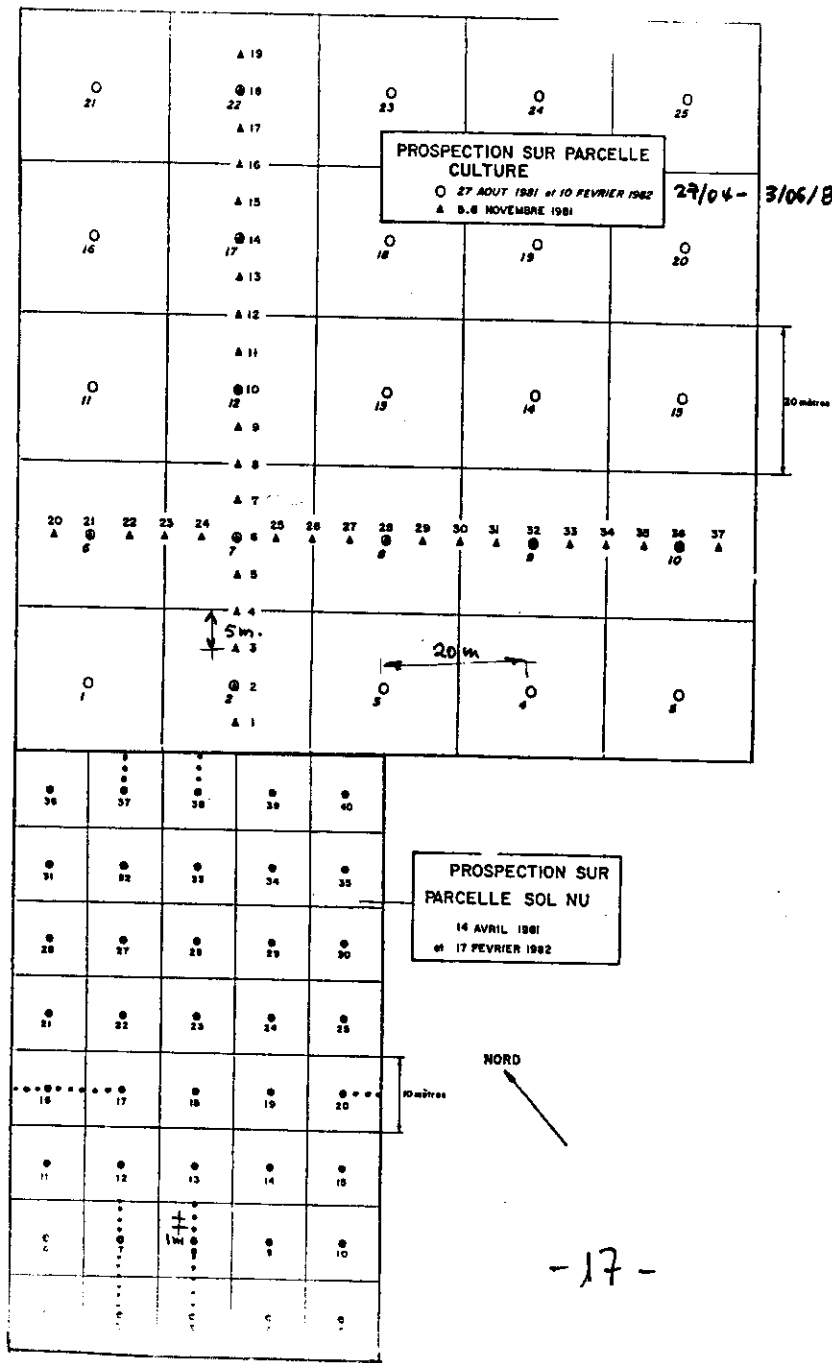
- recherche de périodicité.
- tests d'ajustement de  $\rho(h)$  à des processus stochastiques théoriques.

14

Parameters	range (m)	length of autocorrelation	spectral analysis	Reference
$\theta_s$		76/73/45/28		Russo-Bresler $\Delta h = 0.4$ depths, 0.8ha
AWC	40	1.1/12/120		Gajewi et al $\Delta h = 0.2/2/20$ Vauclin et al $\Delta h = 10m, S = 0.3ha$
Sorptivity	<23	37/44/35/39		Russo-Bresler Vauclin et al
Steady-state infiltration rate	50			Nieira et al $\Delta h = 1m, S = 0.9ha$
	2.5	1 <sup>st</sup> auto regressive model $J = 13 \text{ cm}$		Sissen-Wieren- ga, $\Delta h = 0.25$ $S = 40 \text{ m}^2$
<2	-15-			Luxmoore et al $\Delta h = 2m, S = 48m$
<23		34/33/31/14		Vauclin et al Russo-Bresler

2. STATIONARITY  
OF THE SPATIAL DISTRIBUTION PATTERN  
WITH TIME





18

Fig. 8

TABLEAU 1

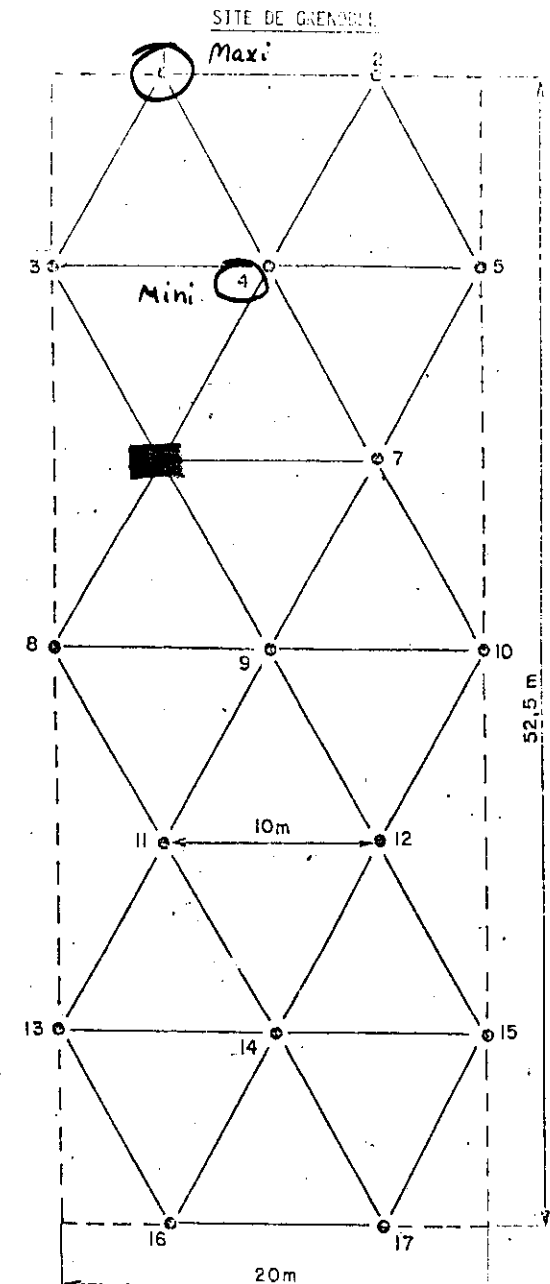
ANALYSE DE PAIRES ENTRE MESURES DE STOCK  
SUR 0-1 m ENTRE FEVRIER et JUIN 1982  
SUR LA GRILLE

n° site	Stock février	Stock juin	RHO DE SPEARMAN
	X(i)	Y(i)	i RANG DE X(i) RANG DE Y(i)
1	195.6000	119.7000	1 2.0000 -8.0000
2	227.5000	118.4000	2 11.0000 5.0000
3	237.4000	127.5000	3 15.0000 12.0000
4	218.6000	128.6000	4 6.0000 14.0000
5	284.3000	181.1000	5 1.0000 1.0000
6	221.4000	90.2000	6 7.0000 1.0000
7	236.8000	140.2000	7 14.0000 15.0000
8	231.4000	119.4000	8 12.0000 7.0000
9	272.0000	149.8000	9 21.0000 22.0000
10	304.5000	173.1000	10 24.0000 23.0000
11	225.0000	118.7000	11 9.0000 6.0000
12	218.9000	124.5000	12 4.0000 18.0000
13	257.9000	138.9000	13 19.0000 15.0000
14	225.3000	143.4000	14 10.0000 21.0000
15	216.7000	119.7000	15 5.0000 4.0000
16	267.5000	139.5000	16 20.0000 19.0000
17	238.1000	142.0000	17 16.0000 28.0000
18	205.1000	165.6000	18 3.0000 3.0000
19	223.7000	123.5000	19 8.0000 9.0000
20	275.8000	137.9000	20 22.0000 17.0000
21	188.2000	98.9000	21 1.0000 2.0000
22	243.6000	127.2000	22 17.0000 11.0000
23	233.0000	127.7000	23 13.0000 13.0000
24	254.1000	132.2000	24 18.0000 16.0000

SOMME DES DIFF DE RANG AU CARRE =  
584.0000

MORNAG

19



20

FIG. 2

le 1<sup>o</sup> mètre pour chacun des 21 sites de mesure.  
Le stock moyen obtenu sur 21 dates de mesure.

	TUSC	DI	SDI	DELI
<u>Maxi</u>				
1	1 48,14	49,17	1,04	
2	-10,41	11,72	1,31	
3	31,91	32,74	0,83	
4	-59,30	59,92	0,63	
5	20,27	21,27	1,00	
6	[REDACTED]	[REDACTED]	[REDACTED]	
7	7,78	12,70	4,92	
8	-14,59	19,36	4,77	
9	0,66	6,77	6,11	
10	-5,09	7,42	2,33	
11	-23,96	25,91	1,96	
12	15,05	15,84	0,78	
13	-31,77	32,42	0,65	
14	-7,41	11,57	4,15	
15	27,64	28,84	1,20	
16	10,17	10,56	0,39	
17	-7,31	11,66	4,35	

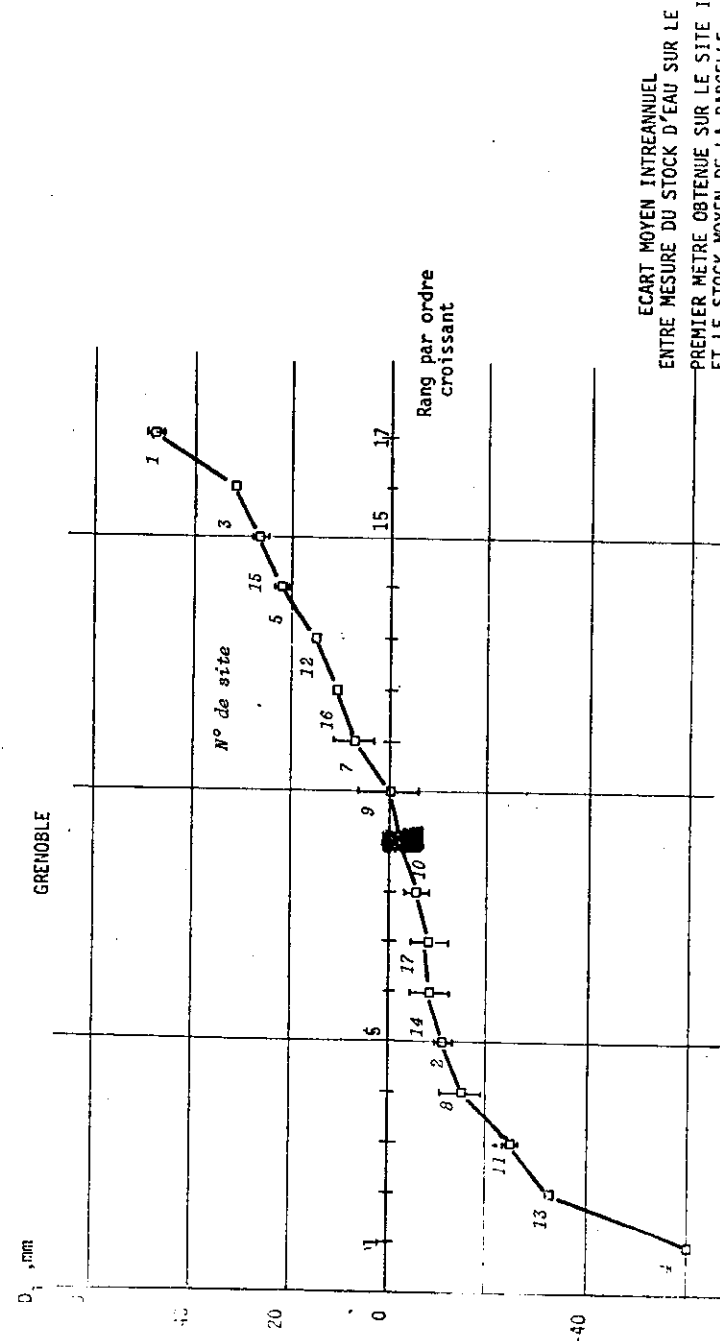
TABLEAU 3

Valeur du coefficient de corrélation de rang RHO de Spearman entre les 17 sites de mesures pour l'estimation du stock sur le 1<sup>o</sup> mètre entre 7 dates représentatives

Date Stock moyen	25/08/81	16/07/82	27/05/82	15/06/82	21/03/82	2/12/82	7/09/82
25/08/81	[REDACTED]						
16/07/82	[REDACTED]						
27/05/82	[REDACTED]	0,841					
15/06/82	[REDACTED]	0,853	0,953				
21/03/83	[REDACTED]	0,819	0,931	0,904			
2/12/82	[REDACTED]	0,755	0,833	0,873	0,953		
7/09/82	0,860	0,863	0,909	0,929	0,966	0,941	

SITE DE GRENOBLE

91



Série de 21 mesures de Juin 1981 à Avril 1983

99

FIG. 3

# SCALING THEORY

## Basic assumptions.

### • similar media concept.

Similar media differ only in the scale of their internal microscopic geometries. ( $\lambda$ )

$\Rightarrow$  porosities, pore and particle size distributions are equivalent.

### • invariance of $\sigma$ .

$$h_i \lambda_i = \text{cst} = h^* \lambda^* \Rightarrow h_i = \frac{1}{\alpha_i} h^*$$

### • invariance of $\mu$ .

$$\frac{k_i}{\lambda_i^2} = \text{cst} = \frac{k^*}{\lambda^{*2}} \Rightarrow k_i = \alpha_i^2 k^*$$

$\alpha_i = \frac{\lambda_i}{\lambda^*}$  scale factor at location i.

$h^*, k^*$  reduced (mean scaled)  
hydraulic property invariant  
within locations.

### generalization

$$W^* = \alpha_i^b \cdot W \quad \begin{cases} b=1 & \text{water pressure} \\ b=-2 & \text{conductivity, A-parameter} \\ b=-1 & \text{capillary diffusivity} \\ b=-1/2 & \text{Sorptivity} \end{cases}$$

-23-

## Example.

23 infiltration tests on  $S = 0.95 \text{ ha}$ .

Experimental data  $\left\{ \begin{array}{l} \Rightarrow I_i = f(t) \text{ at 23 locations} \\ \Rightarrow h_i = g(\theta) \text{ at 23 locations, one depth} \\ \Rightarrow k_i = h(\theta) \text{ at 4 locations, 4 depths} \end{array} \right.$

### Results:

- scale factors were log-normally distributed

$$\mu_\alpha = 1 ; \sigma_\alpha^2 = 0.321$$

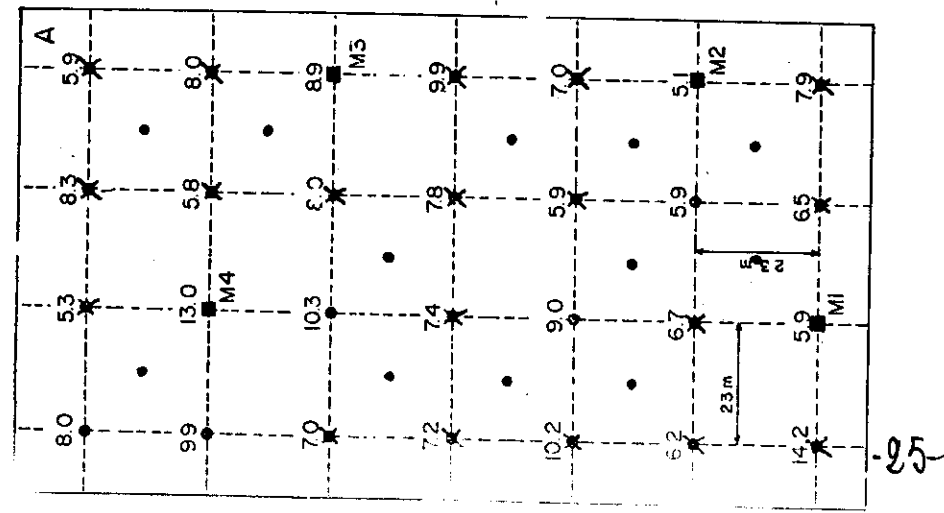
### - test of similarity:

$$\alpha_K = 0.972 \alpha_h \quad (r=0.92)$$

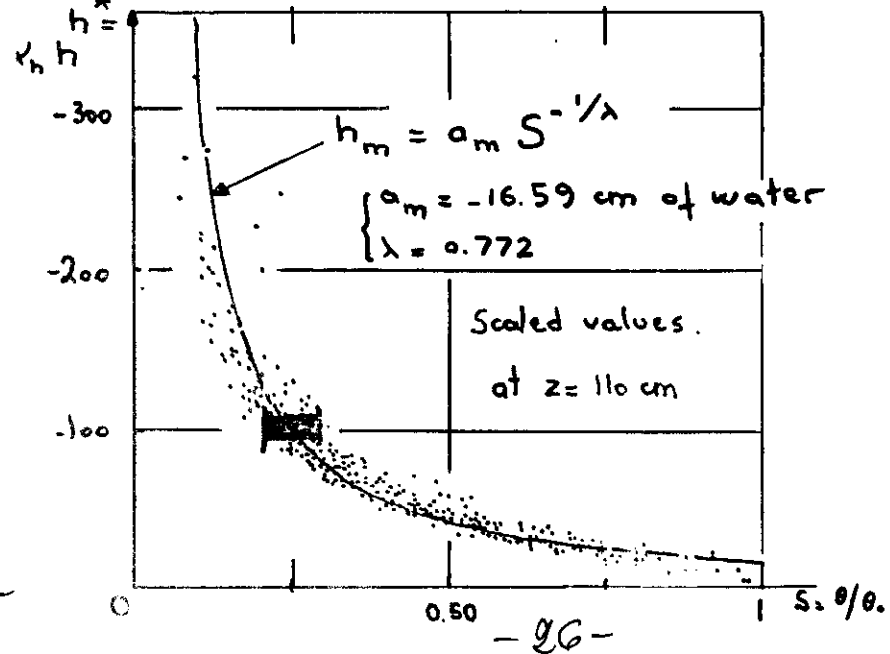
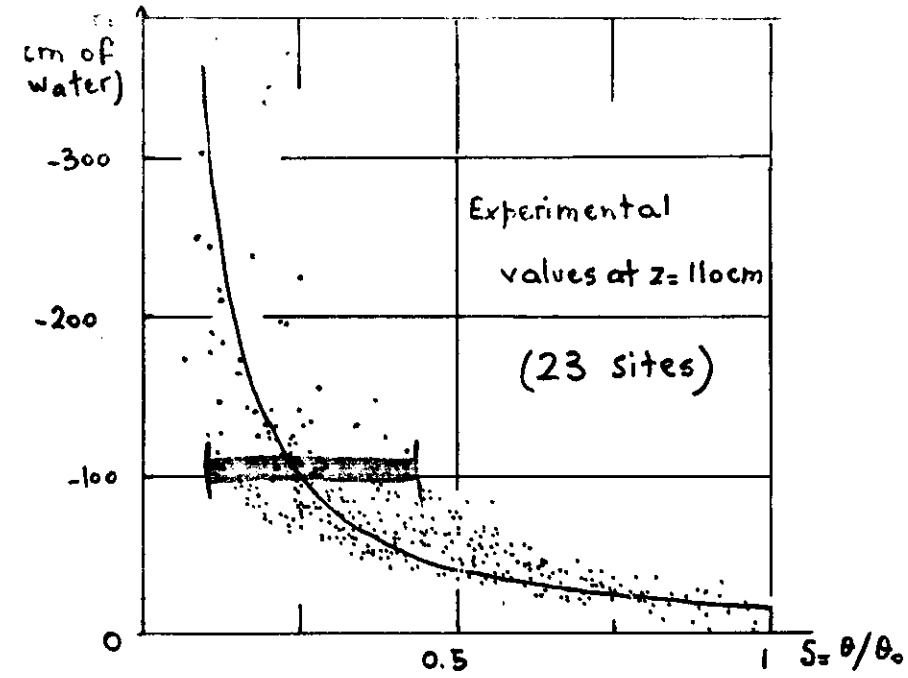
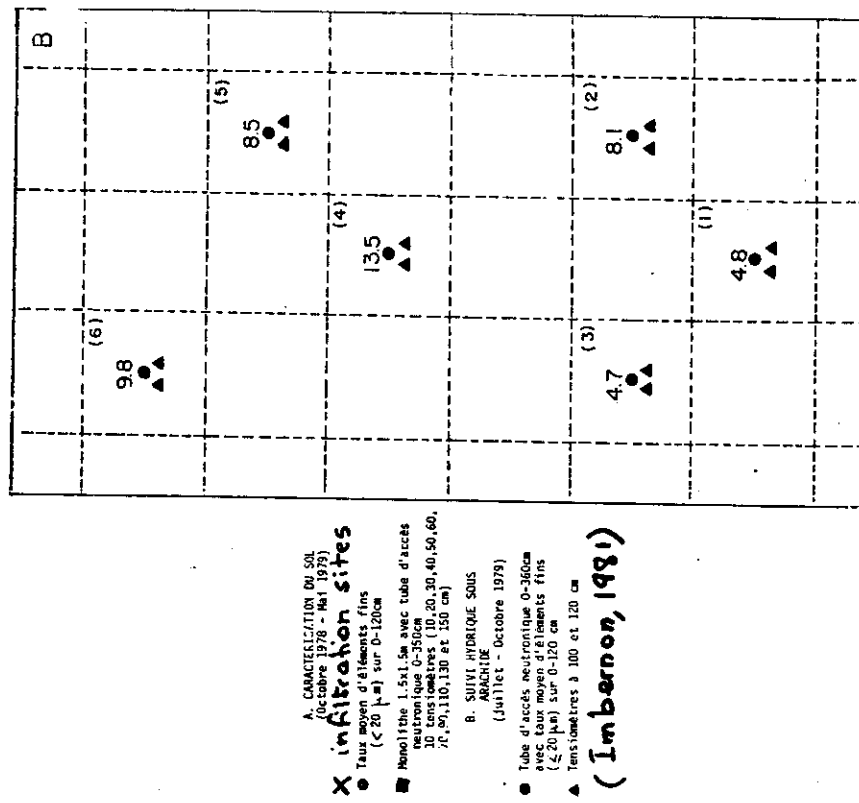
$$\alpha_K = 1.04 \alpha_h \quad (r=0.97), \text{ Simmons et al (1979)}$$

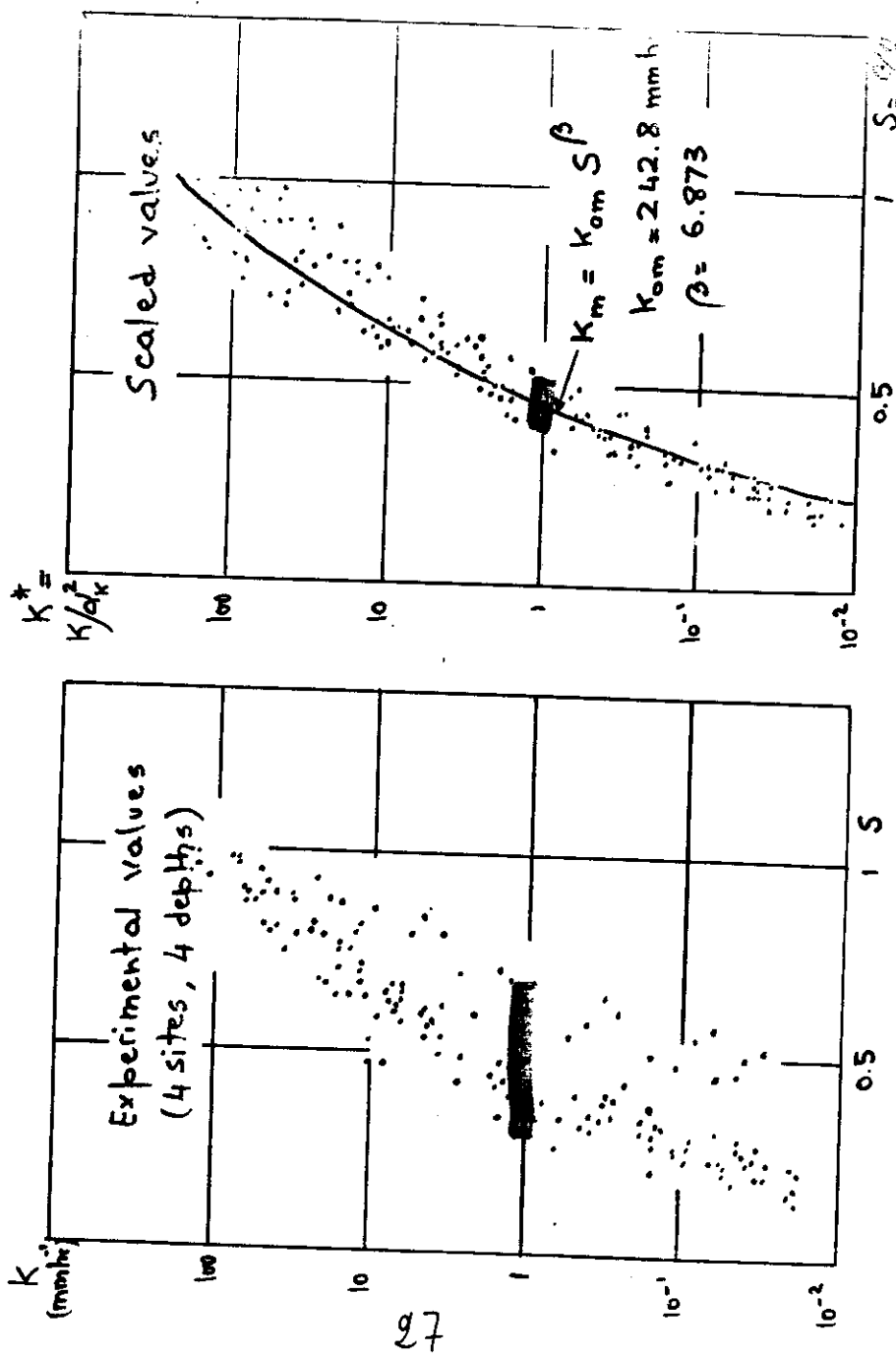
$$\alpha_K = 1.06 \alpha_h \quad (r=0.93) \text{ Russo-Bresler (1980)}$$

- BARE SOIL -



- GROUND NUTS -





FLUXES AT  $Z = 110 \text{ cm.}$  (23 sites)

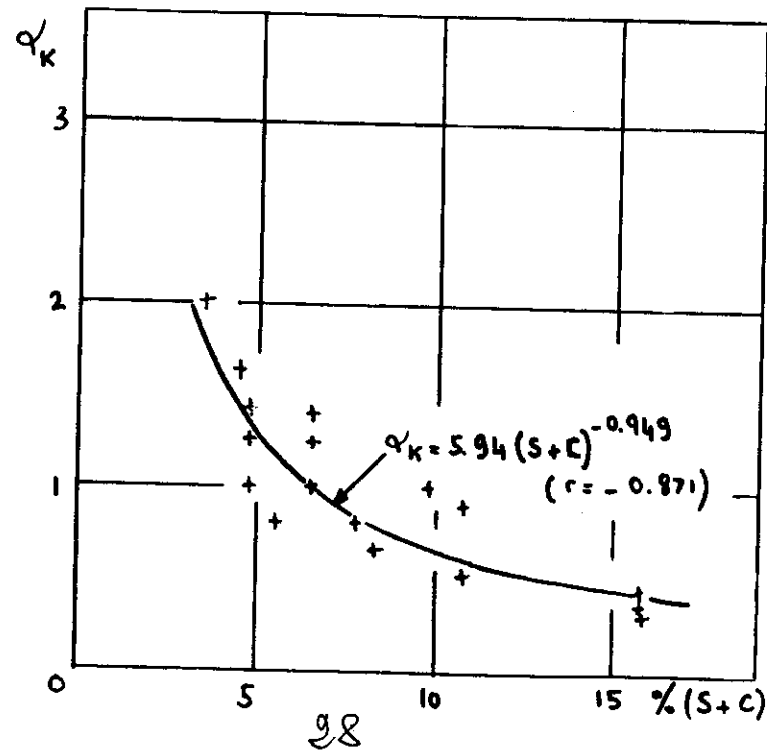
Darcy's law  $\Rightarrow$

$$q_i = -K_i(E_{i0}) \cdot \frac{dH}{dz} \rightarrow \text{calculated } k_i = \frac{H_{i20} - H_{i10}}{20}$$

Estimated  $k_i$ :

$$k_i = \alpha_k^2 K_{om} \left( \frac{S}{\theta_i} \right)^\beta$$

↑ estimated by  $\alpha_k = f(S + C)$



## II. MODELISATION

### 1. Conceptuelle.

Eqs Darcy + Continuité

$$\Rightarrow \text{Eq. Richards: } \frac{\partial \theta}{\partial t} = \frac{\partial}{\partial z} \left\{ k(\theta) \left( \frac{\partial h}{\partial z} - 1 \right) \right\} \quad (1)$$

ou

$$\Rightarrow \text{Eq. Fokker-Plank: } \frac{\partial \theta}{\partial t} = \frac{\partial}{\partial z} \left\{ D(\theta) \frac{\partial \theta}{\partial z} \right\} - \frac{\partial k(\theta)}{\partial z} \quad (2)$$

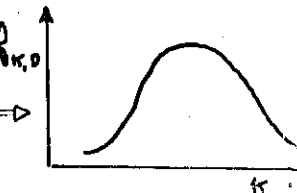
+ C. initiales et aux limites.

$\Rightarrow \theta(z, t)$  ou  $h(z, t)$  dans tout le domaine  
si le milieu est uniforme et homogène.



En fait, le sol est non uniforme  $\Rightarrow$

qq



Consequences :

1) Etude de la variabilité des paramètres hydrodynamiques  $\Leftrightarrow$  Etude de la variabilité des  $\alpha_i$ .

2) Intégration de l'équation des transferts  
 $\Rightarrow$  solutions stochastiques :

$$Y = g(\alpha', \text{paramètres})$$

$\uparrow$  v.r.a.

$$a) E\{Y\} = g(\mu_\alpha) + \left[ \frac{\partial g}{\partial \alpha^2} \right]_{\mu_\alpha} \cdot \frac{\sigma_\alpha^2}{2}$$

$$E\{Y\} = \underbrace{g(\mu_\alpha)}_{\text{m. déterministe}} \left\{ 1 + \varepsilon_Y \right\} \text{ avec } \varepsilon_Y = \frac{1}{g'(\mu_\alpha)} \left[ \frac{\partial g}{\partial \alpha} \right]_{\mu_\alpha} \cdot \frac{\sigma_\alpha^2}{2}$$

$\uparrow$  écart

$$b) \text{var}(Y) = \left[ \frac{\partial g}{\partial \alpha} \right]_{\mu_\alpha}^2 \cdot \sigma_\alpha^2$$

Remarque : cette méthode ne donne pas la loi de distribution de  $Y$ , sauf cas particuliers:

ex: drainage :

$$q = \alpha^2 k_0 \left\{ 1 + \frac{\beta-1}{\alpha \theta_0} \alpha^2 k_0 \frac{t}{z} \right\}^{\frac{\beta-1}{\beta}}$$

- 30 -

## Infiltration

$$\frac{\partial \theta}{\partial t^*} = \frac{\partial}{\partial z^*} \left\{ K^* \left( \frac{\partial h^*}{\partial z^*} - 1 \right) \right\}$$

$$D^* = K^* \frac{dh^*}{d\theta} + C.L.C.T \begin{cases} t^* < 0, & z^* \geq 0, \\ t^* \geq 0, & z^* = 0 \end{cases}, \quad \theta = \theta_n \\ \theta = \theta_o$$

Milieu de référence :

$$z^*(\theta, t^*) = \sum_{m=1}^{\infty} f_m(\theta), t^{*\gamma/2}$$

$$I^* = S^* t^{*\gamma/2} + A^* t^* \quad \xrightarrow{I^* = \alpha I} \quad I = \alpha^{\gamma/2} S^* t^{*\gamma/2} + \alpha^2 A^* t$$

$$i_o^* = \frac{1}{2} S^* t^{*\gamma/2} + A^* \quad \xrightarrow{i_o^* = \frac{1}{2} i_o} \quad i_o = \frac{1}{2} \alpha^{\gamma/2} S^* t^{*\gamma/2} + \alpha^2 A^*$$

solutions uniques.

- 31 -

Milieu quelconque

solutions stochastiques  
( $\alpha$  est une v.a.)

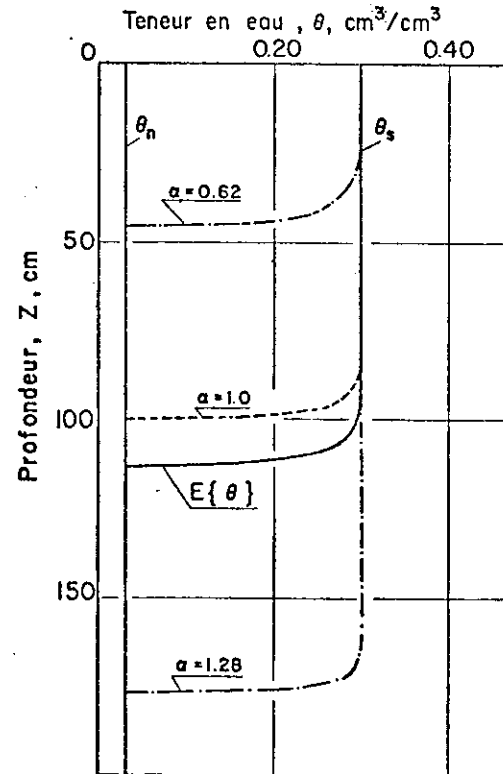


FIG.5 - Profils hydriques après 1 heure d'infiltration  
 $\theta_n = 0.03 \text{ cm}^3/\text{cm}^3$ ;  $\theta_s = 0.30 \text{ cm}^3/\text{cm}^3$

39

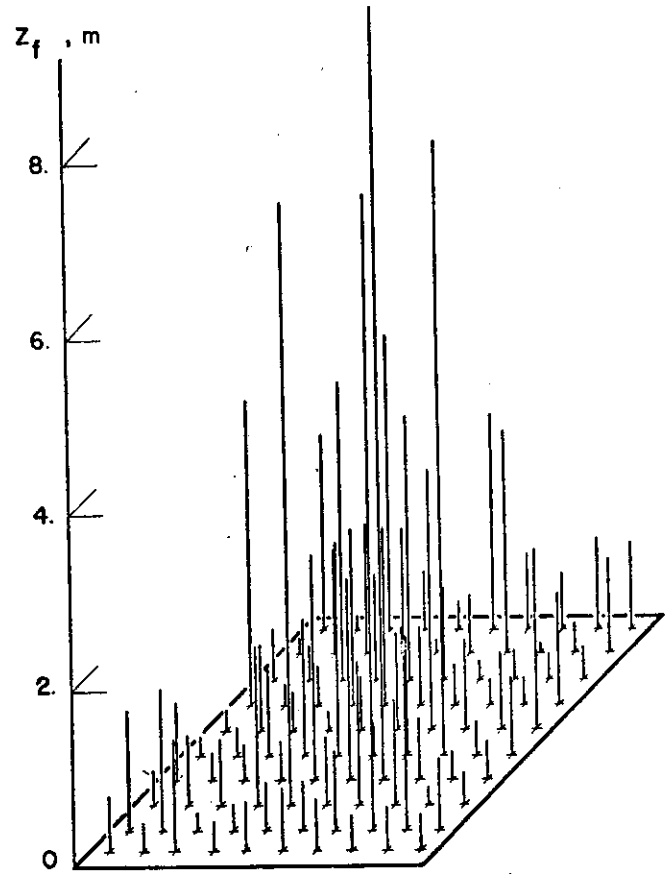


FIG.6 - Répartition spatiale du front d'infiltration au temps  $t = 1$  heure.

33

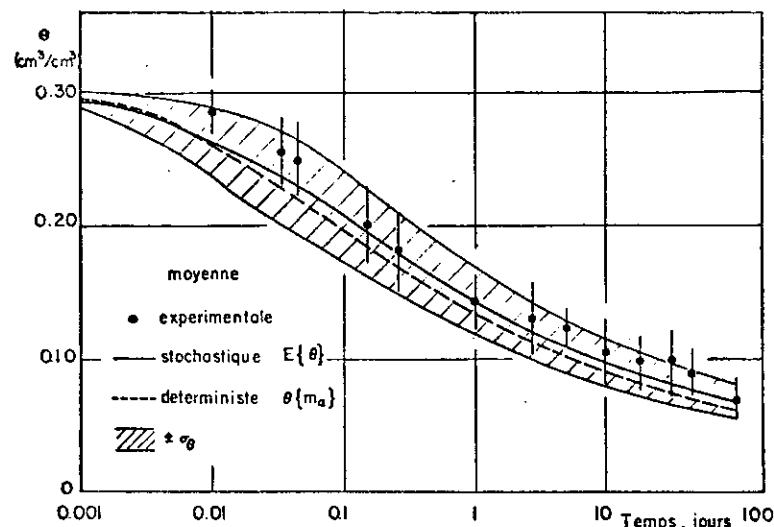
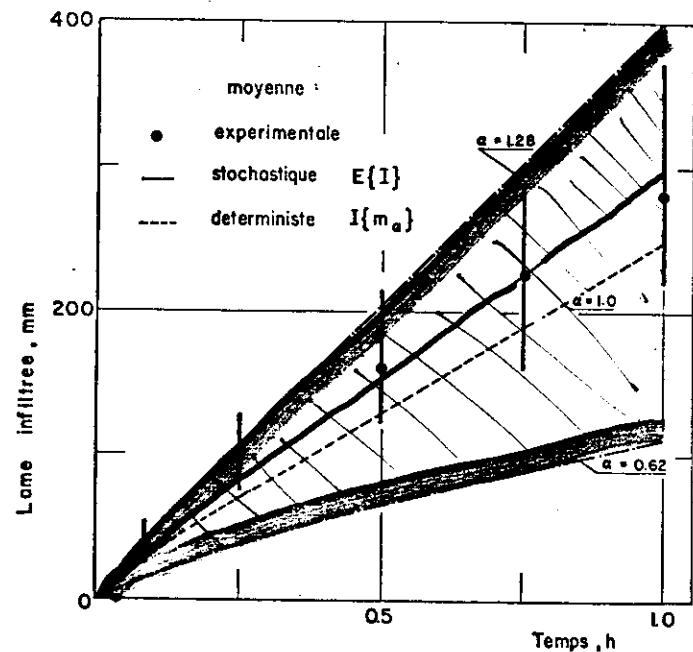


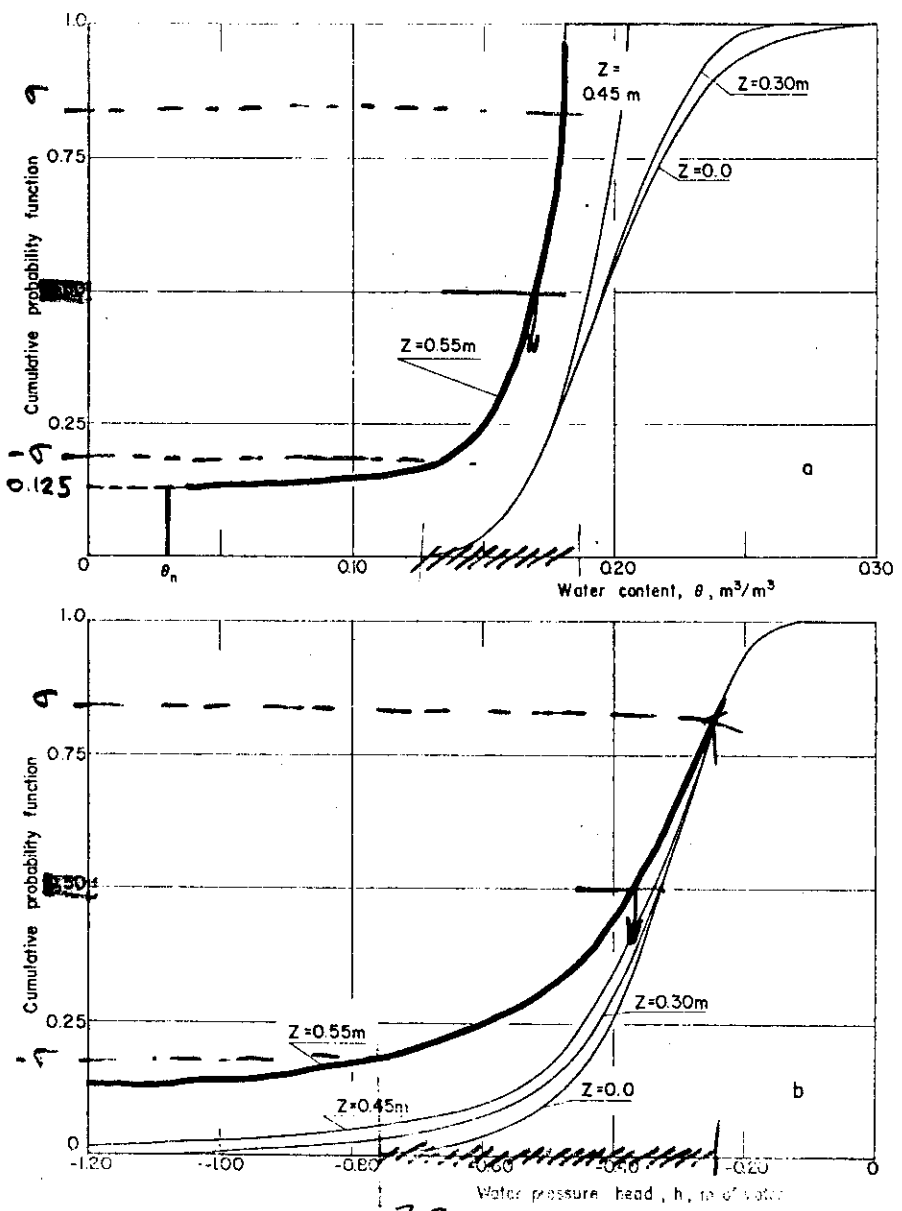
FIG.7 - Teneur en eau volumique en fonction du temps à  $z = 110$  cm, au cours du drainage. les barres expérimentales correspondent aux écarts types expérimentaux.

34

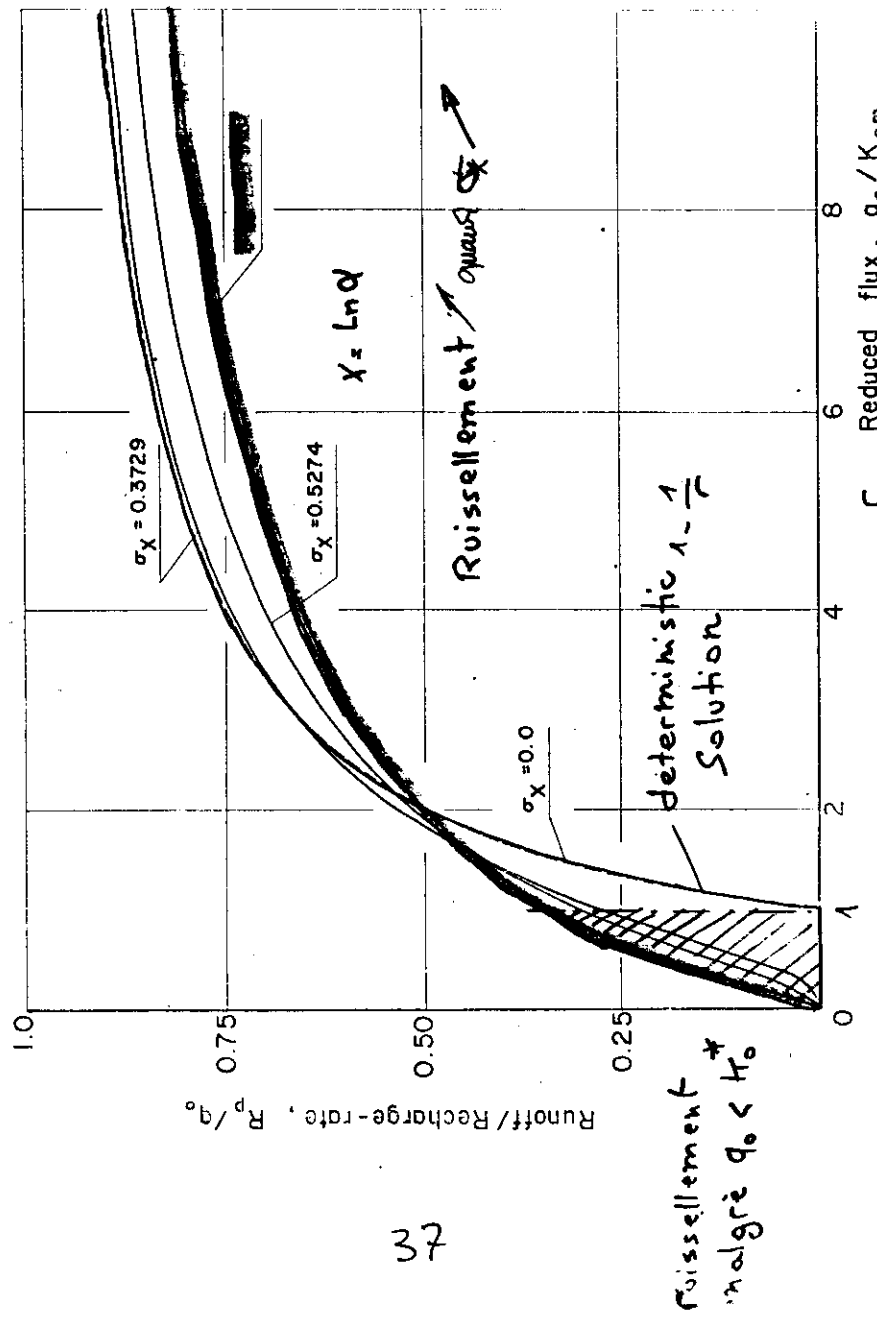
$$r = 4.1 \cdot 10^{-2} \quad ; \quad t = 10^7 \quad (100 \text{ mm d'eau infiltrée})$$



35



36



37

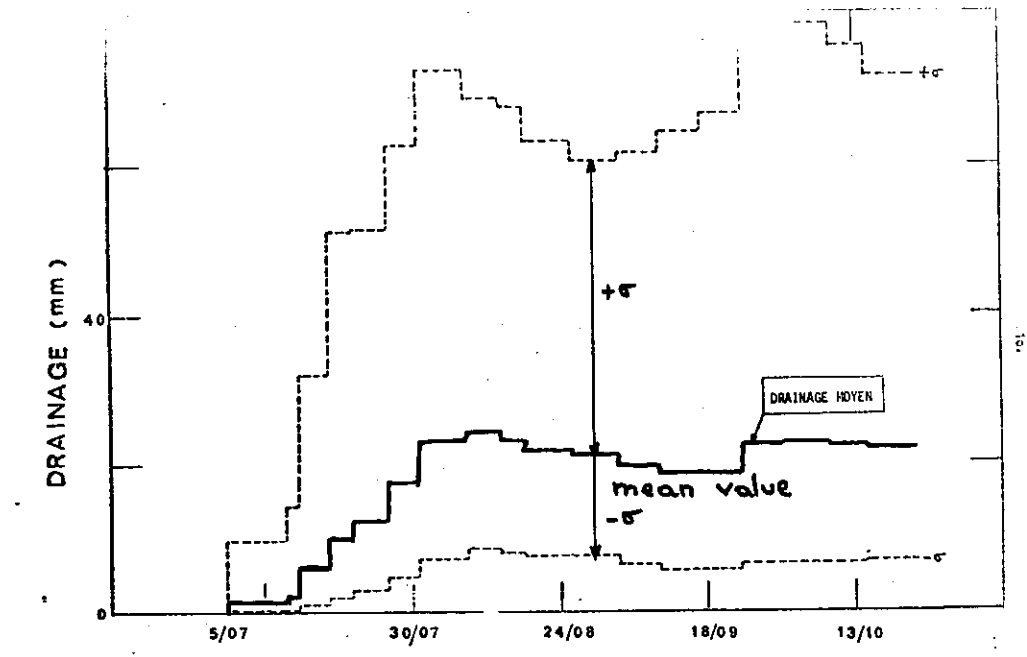
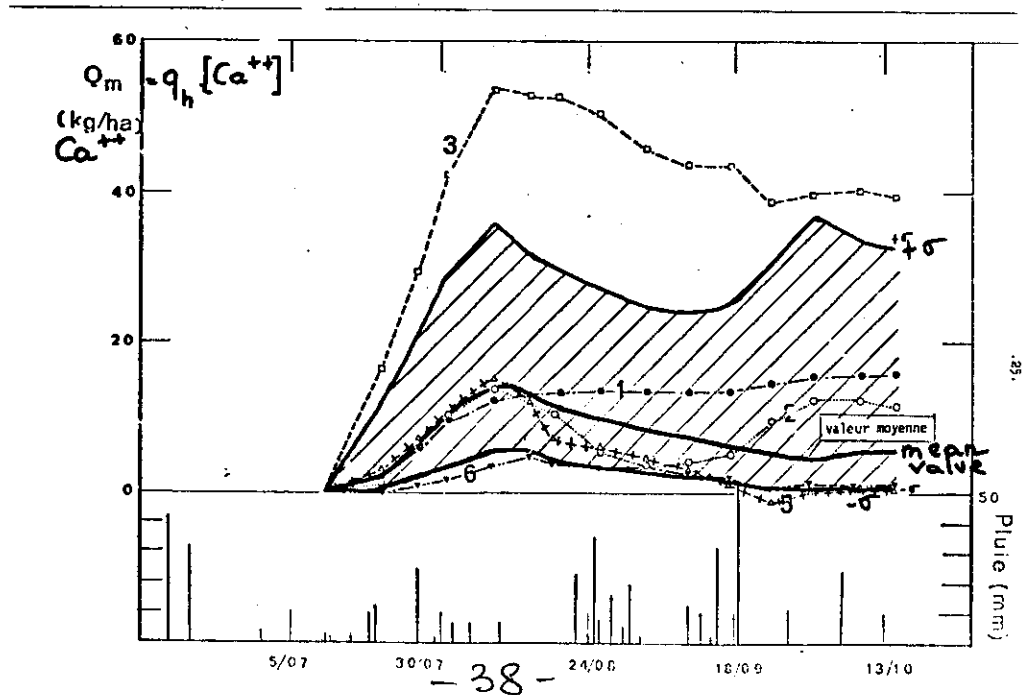


Fig.6 - Drainage cumulé à travers la cote  $z = 110$  cm



- 38 -